

V₂O₅를 dopant로 한 TiO₂의 感濕에 미치는
M₂CO₃(M=Li, Na)의 影響

Effect of M₂CO₃(M=Li, Na) Addition on the
Humidity Sensitivity of V₂O₅-doped TiO₂

강 이 국*, 송 창 열, 신 용 터
원광대학교 전기공학과

Kang Yi Kug*, Song Chang Yul, Shin Yong Deok
Department of Electrical Eng. Won Kwang Univ.

Abstract

In this paper, the effect of alkaline oxides on the humidity sensitivity of V₂O₅(2mol%) -doped TiO₂(98mol%) was investigated as functions of Li₂CO₃, Na₂CO₃.

III-1. Measurement of Density

When the mole% of Li₂O is varied 0, 1, 2, 5mol%, the more the mole% of additives is increased, the more difference of bulk and apparent density is largely narrowed. The difference of two densities of sample containing 2mol % Na₂O was large all the most. The sample containing 1mol% Na₂O was small most.

III-2. Observation of porosity

The porosity and total intrusion volume according to various amounts of Li₂O was reduced and those of sample containing 2mol% Na₂O as 31.13%, 0.1155mL/g was the highest and 1mol% Na₂O was lowest most and 5, 10mol% Na₂O was more high compare with sample without alkaline oxides.

III-3. Characteristic of humidity sensitivity

1. Impedance of samples containing Li₂O was high compare with sample without alkaline oxides, so we thought it showed poor sensitivity because it have no impedance changing rapidly as function of relative humidity.

2. When the humidity was increasing from 30RH% to 90RH%, the impedance of sample containing 2mol% Na₂O at 120HZ changed exponential rapidly from 6x10⁷(Ω) to 1.25x10⁴(Ω).

At under 50RH% and over 50RH%, the humidity sensitivity of samples containing 2mol% Na₂O was best especially in the range of the low humidity.

III-4. Characteristic of TG curves

When alkaline oxide M₂CO₃(M=Li, Na) were added into V₂O₅-doped TiO₂, the stability of humidity sensitivity

of samples containing amounts of Li₂O was unstable. The samples containing 1mol% Na₂O was unstable.

I 서 론

K. Katayama 등은 TiO₂의 저항은 매우 높지만 V₂O₅를 dopant로써 사용하면 저항이 다소 낮아지고 습도 감도가 좋은 V₂O₅-TiO₂계 세라믹 습도센서를 제조할 수 있었다.^{1,2)} 습도의 감도를 개선하기 위하여 알카리 산화물을 첨가제로 하여 많은 연구 결과를 가져왔다.³⁾⁻⁵⁾ Sodoka 등은 지르코늄 인산 염에 알카리 옥사이드를 첨가하였을 때 임피던스가 낮아지고 장시간 사용하여도 감도의 안정성이 좋은 습도센서를 제조하였다.⁴⁾

Ichinose와 Tanaka, Uchikawa 등은 인화석 화합물 습도센서 재료에서도 같은 특성을 얻었다.^{6,7)}

한편 K. Katayama는 습도 감지를 개선하기 위해 Nb₂O₅-TiO₂계에 알카리 옥사이드를 첨가하여 그 특성을 연구하였으며, 알카리 옥사이드의 첨가는 습도 감지뿐만 아니라 미세구조에도 영향을 준다고 발표하였다.⁵⁾

고 저항성을 갖는 TiO₂에 V₂O₅를 dopant로²⁾ 사용하면 Ti⁴⁺위치에 V⁵⁺가 치환됨으로써 형성되는 기공을 통하여 수분의 흡착 영역을 증가시켜 감습특성이 개선되는 저 저항성 기공성 세라믹을 제조할 수 있다.

따라서 본 논문에서는 TiO₂-V₂O₅계 기공성 세라믹에 감습의 감도와 감도의 안정성을 개선하기 위하여 TiO₂(98mol%)와 V₂O₅(2mol%)에 알카리 옥사이드 Li₂CO₃, Na₂CO₃를 첨가하였다. 위와 같은 첨가제의량에 따라 밀도, 기공측정 및 미세구조, TG curves, XRD 등을 실험, 관찰하여 습도특성에 미치는 영향을 고찰하고 감습의 감도와 감도의 안정성을 조사하고자 한다.

II 실험 및 결과 고찰

II-1 시편의 제조

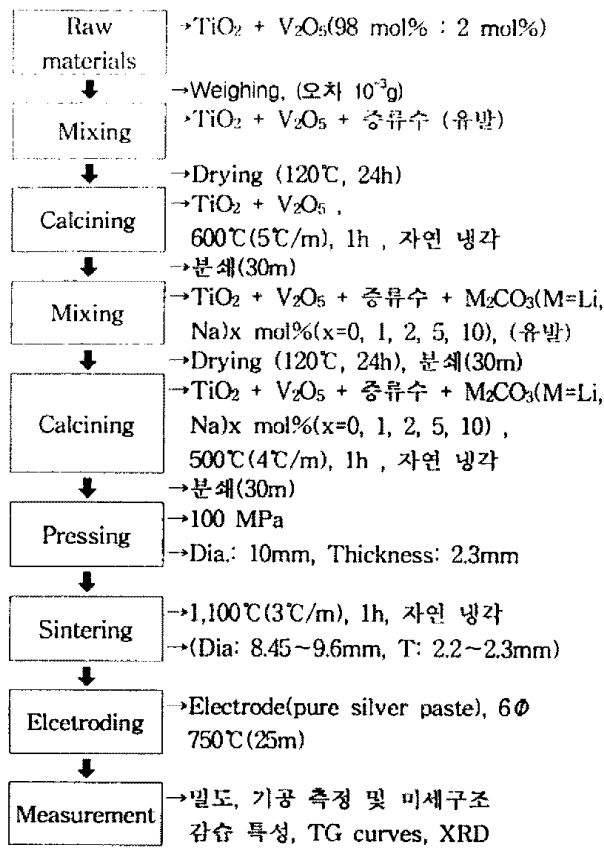


그림 1. 제조 공정

II-2 밀도 측정

그림 2의 Li₂O 첨가 시편은 첨가량이 증가할 수록 두 밀도간의 간격이 크게 줄어지고 있다. 이것은 그림 4에서 기공율이 낮아지고 있는 현상을 의미한다. 그림 3의 Na₂O 첨가 시편은 첨가량이 2mol% 때 두 밀도간의 간격이 가장 넓고 1mol% 때 가장 좁으며 그 이외의 첨가 때는 무첨가한 것보다는 다소 높게 나타나고 있다.

또한 기공율의 변화도 이 두 밀도간의 간격의 형태와 같다. Li₂O, Na₂O 첨가는 결과적으로 해리되어 용해 상을 만들고 미세 기공을 만드는데 Na₂O 2mol% 첨가는 매우 작은 용해 상을 만들어 냄으로써 기공 크기를 감소시키고 다량의 미세 기공을 형성하기 때문에 기공율이 높게 나타난 것으로 사료된다.

Na₂O를 첨가하면 무첨가한 것의 기공율보다 높게 나타나지만 Li₂O를 첨가하면 낮게 나타나며 첨가량이 증가할 수록 더욱 심하게 낮아진다.

II-3 기공 측정 및 관찰

그림 4,5에서 Li₂O 첨가 시편은 첨가량이 증가할 수록 기공률과 체적률이 크게 낮아지고 있으며 Na₂O 첨가 시편은 첨가량이 2mol% 때 기공률과 체적률이 가장 높고 1mol% 때 가장 낮으며 그 이외의 첨가 때는 무첨가한 것보다 다소 높게 나타나고 있다.

표 1에서 알카리 욕사이드를 첨가하지 않았을 때의 기공 크기의 분포는 대부분의 기공 크기의 분포가 0.16~1.0μm 범위에 있고 평균 기공 크기는 0.7296μm이며 기공률은 23.29%이다.

이와 같은 현상은 K.Katayama 등이 고상 반응 법으로 제작한 Nb₂O₅를 dopant로 한 TiO₂의 후막형 세라믹 습도 센서가 Nb₂O₅ 0.5mol%에서 우수한 감습특성을 보인다고 보고한바 있는데¹⁾ 기공 크기의 분포가 0.1~1.0μm에 있고 25~50% 기공률이 나타나면 감습특성이 가장 우수하다는 보고와 아주 유사하다.

Na₂O 1mol% 첨가 시편은 대부분의 기공 크기의 분포가 0.11~0.51μm 범위에 있고 평균 기공 크기는 0.1653μm이며 95.8, 67.5μm 정도의 큰 기공도 있다. Na₂O 2mol% 첨가 시편은 대부분의 기공의 크기 분포가 0.23~2.65μm의 넓은 범위에 균일한 체적률로 분포되어 있으며 평균 기공 크기는 2.0737μm이다. 이와 같이 기공 크기가 1, 5, 10mol% 첨가한 시편보다는 다소 크고 기공 크기 분포도가 넓다.

Na₂O 5mol% 첨가 시편은 대부분의 기공 크기 분포가 0.16~1.4μm 범위에 있고 평균 기공 크기는 0.9842μm이며 86.36, 43.95μm 정도의 큰 기공도 있다.

Na₂O 10mol% 첨가 시편은 대부분의 기공 분포가 0.36~1.08μm 범위에 있으며 평균 기공 크기는 0.9594μm이며 125.7μm 크기의 큰 기공이 특히 많다.

Na₂O 2mol% 첨가 때의 기공률과 체적률은 각각 31.13%와 0.1155mL/g으로 가장 높다.

표 1. Average pore diameter and Pore size range of samples

Specimens	Average pore diameter(μm)	Pore size range(μm)
무첨가	0.7296	0.16~1.0
Li-1	1.0472	0.7~1.1
Li-2	1.0845	0.2~1.39
Li-5	0.2472	0.14~0.85
Li-10	0.1455	0.4~0.56
Na-1	0.1653	0.11~0.51
Na-2	2.0737	0.23~2.65
Na-5	0.9842	0.16~1.4
Na-10	0.9594	0.36~1.08

II-4 감습 특성

습도센서가 습도를 감지하는데 가장 중요한 영향을 미치는 요소는 기공률과 기공 분포이다. 기공률은 습도센서의 전체적인 특성에 영향을 미치며 기공 분포는 특정한 크기의 기공이 전체 기공에 기여하는 비율로서 특정한 습도에 대한 감도에 영향을 미친다.²⁾

그림 6에서 2mol%까지 첨가할 때는 임피던스가 점진적으로 증가하였으며 5mol% 첨가 때는 다소 감소하나 무첨가한 시편보다는 임피던스가 높고 전 습도 영역에서의 급격한 임피던스 변화를 나타내지 않기 때문에 감습 특성이 나쁘다고 볼 수 있다. 또, 10mol% 첨가 때는 아주 낮은 임피던스값을 나타내고 있으며 급격한 임피던스 변화가 거의 나타나지 않으므로 감습 특성이 아주 좋지 않다. 따라서 V₂O₅를 dopant로 한 TiO₂에 Li₂O를 첨가하면 감습 특성은 오히려 좋지 않다.

이것은 Li₂O에 의해 예상 소결이 이루어 지므로써 소결 측진이 이루어지고 Li₂O의 첨가량이 증가함에 따라 grain이 성장하면서 grain 사이에 존재하던 기공들이 현저하게 소멸되어진 것으로 생각된다.

그림 7에서 Na₂O를 1mol% 첨가한 시편의 임피던스는 무첨가한 시편보다 아주 낮지만 변화는 거의 없다. Na₂O를 각각 5, 10mol% 첨가한 시편의 임피던스는 무첨가한 시편보다 각각 높으며 변화 또한 낮게 나타나고 있다.

Na_2O 를 2mol% 첨가한 시편의 임피던스 변화는 측정 주파수 120Hz에서 상대 습도가 30%에서 90%로 증가할 때 $6 \times 10^7 (\Omega)$ 에서 $1.25 \times 10^4 (\Omega)$ 으로 저수 함수적으로 급격하게 변하고 있다.

T. SEIYAMA 등이 만일 시편의 전도도가 낮으면 저 습도에서 임피던스 측정이 곤란하고 높으면 습도 의존성이 비교적 낮아 임피던스 측정이 또한 불편하기 때문에 시편의 임피던스는 상대 습도 증가에 따라 $10^7 \Omega$ 에서 $10^4 \Omega$ 으로 저수 함수적으로 감소해야 하며 습도에서 재료로서는 천이 금속 화합물을 사용하고 전조시에 임피던스가 $10^7 \Omega$ 이어야 한다는 보고와 일치하고 있다.²⁾ 상대 습도 50% 이하의 저습도 영역에서나 50% 이상의 고습도 영역에서나 모두 Na_2O 를 2mol% 첨가한 시편이 가장 감습 특성이 좋으며 특히 저습도 영역에서는 더욱 좋다. 이것은 그림 4에 나타난 바와 같이 기공률이 31.13%로 가장 높다는 것을 의미하고 대부분의 기공의 크기 분포가 0.23~2.15 μm의 넓은 범위에 균일한 체적률로 분포되어 있기 때문이다. 따라서 기공 분포가 작은 기공이 많으면 저습도 영역에서 큰 기공이 많으면 고습도 영역에서 상대 습도에 대한 임피던스 특성이 급격하게 변하게 된다.

따라서 본 논문에서는 $\text{TiO}_2-\text{V}_2\text{O}_5$ 계 기공성 세라믹의 감습의 감도와 감도의 안정성을 개선하기 위하여 첨가한 알카리 옥사이드 Li_2CO_3 , Na_2CO_3 중 Na_2CO_3 의 알카리 옥사이드를 2mol% 첨가할 때가 기공률과 기공 분포 특성이 가장 우수하게 나타나고 있다.

II-5 TG curves 측정

그림 8에 나타난 바와 같이 Li_2O 1mol% 첨가 시편은 80°C에서 질량 손실이 1차로 발생하고 200°C에서 2차로 발생하고 있다. Li_2O 2mol% 첨가 시편은 80°C에서 질량 손실이 1차로 발생하고 150°C에서 2차로 발생한다. Li_2O 5mol% 첨가 시편은 50, 100, 150°C에서 3차례의 질량 손실이 발생하고 있다. Li_2O 10mol% 첨가 시편은 50, 100, 150, 200°C에서 연속적으로 질량 손실이 발생하고 있다.

V_2O_5 를 dopant로 한 TiO_2 에 금속 산화물 M_2CO_3 ($\text{M}=\text{Li}, \text{Na}$)를 무첨가 하였을 때 온도가 20°C에서 250°C로 증가하여도 질량 손실이 발생하지 않는데 Li_2O 를 첨가만 하면 질량 손실이 발생하며 Li_2O 의 첨가량이 증가할 수록 질량 손실이 온도 증가에 따라 연속적으로 발생하고 있다. V_2O_5 를 dopant로 한 TiO_2 에 Li_2O 를 첨가하면 온도가 증가할 수록 물리 흡착의 탈착 현상이 계속하여 발생하기 때문에 습도 감도의 안정은 대단히 불안하다.

그림 9에 나타난 바와 같이 Na_2O 1mol% 첨가 시편은 50, 80, 100, 200°C에서 연속적으로 질량 손실이 발생하지만 2mol% 이상 첨가한 시편은 50°C에서 질량 손실이 한번 발생하고는 계속적으로 온도가 상승되어도 발생하지 않는다.

V_2O_5 를 dopant로 한 TiO_2 에 Na_2O 를 1mol% 첨가하면 온도가 증가할 수록 물리 흡착의 탈착 현상이 계속하여 발생하기 때문에 습도 감도의 안정은 불안하지만 그 이상의 첨가인 2, 5, 10mol% 때는 물리 흡착의 탈착 현상이 50°C에서 대단히 적게 한번 발생하고 고온으로 가더라도 물리 흡착의 탈착 현상이 일어나지 않기 때문에 50°C 이상의 고온에서 습도 감도의 안정은 대단히 좋다.

따라서 고온에서 습도 감도의 안정은 물리 흡착의 탈착 현상과 밀접한 관계가 있음을 보여 주고 있다.

III 결론

III-1 밀도 특성

1. Li_2O 첨가 시편은 첨가량이 증가할 수록 외관 밀도와 벌크 밀도간의 간격이 크게 좁아지고 있다. Na_2O 첨가 시편은 첨가량이 2mol% 때 두 밀도간의 간격이 가장 넓고 1mol% 때 가장 작다.

III-2 기공 및 미세구조 관찰

1. Li_2O 첨가 시편은 첨가량이 증가할 수록 기공률과 체적률이 크게 낮아지고 있으며 Na_2O 첨가 시편은 첨가량이 2mol% 때 기공률과 체적률이 각각 31.13%, 0.1155m L/g으로 가장 높고 1mol% 때 가장 낮으며 그 이외의 첨가 때는 무첨가한 것보다 다소 높게 나타나고 있다.

III-3 감습 특성

1. Li_2O 를 첨가하면 무첨가한 시편보다는 임피던스가 높고 전 습도 영역에서의 급격한 임피던스 변화를 나타내지 않기 때문에 감습 특성이 나쁘다고 볼 수 있다.

2. Na_2O 를 2mol% 첨가한 시편의 임피던스 변화는 측정 주파수 120Hz에서 상대 습도가 30%에서 90%로 증가할 때 $6 \times 10^7 (\Omega)$ 에서 $1.25 \times 10^4 (\Omega)$ 으로 저수 함수적으로 급격하게 변하고 있다. 상대 습도 50% 이하의 저습도 영역에서나 50% 이상의 고습도 영역에서나 모두 Na_2O 를 2mol% 첨가한 시편이 가장 감습 특성이 좋으며 특히 저습도 영역에서는 더욱 좋다.

III-4 TG 특성

V_2O_5 를 dopant로 한 TiO_2 에 금속 산화물 M_2CO_3 ($\text{M}=\text{Li}, \text{Na}$)를 첨가하였을 때 첨가제 Li_2O 는 첨가량에 관계없이 전반적으로 시편의 습도 감도의 안정성이 불안정하고 첨가물 Na_2O 는 1mol% 때 불안정하지만 2, 5, 10mol% 때는 습도 감도의 안정성이 좋다.

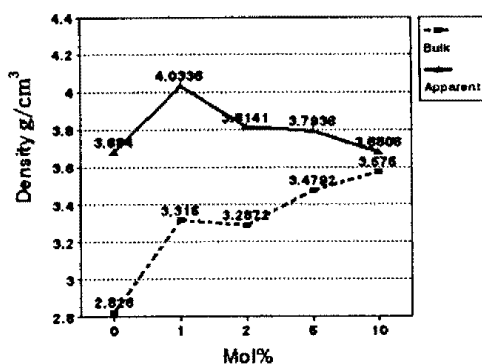


그림 2. Li_2O 의 첨가량에 따른 시편의 벌크와 외관 밀도

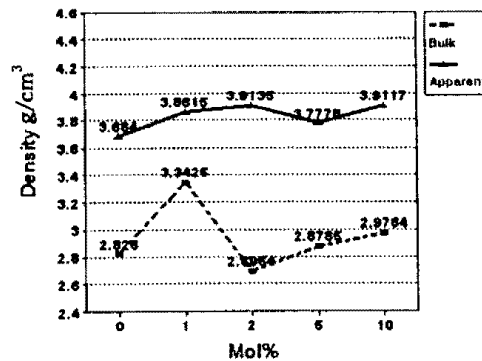


그림 3. Na_2O 의 첨가량에 따른 시편의 벌크와 외관 밀도

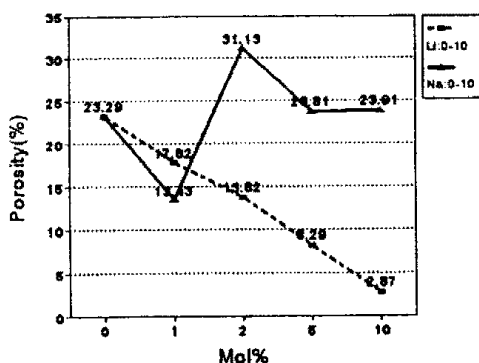


그림 4. 알카리 옥사이드의 첨가량에 따른 V_2O_5 를 dopant로 한 TiO_2 시편의 기공률

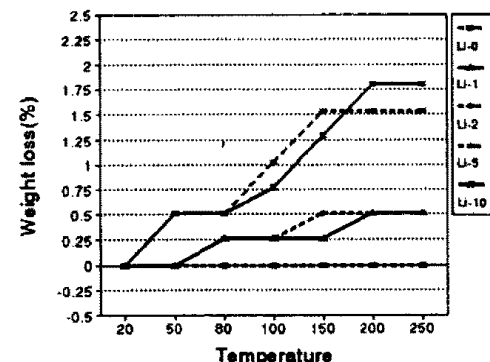


그림 8. Li_2O 첨가량에 따른 V_2O_5 를 dopant로 한 TiO_2 시편의 TG curves

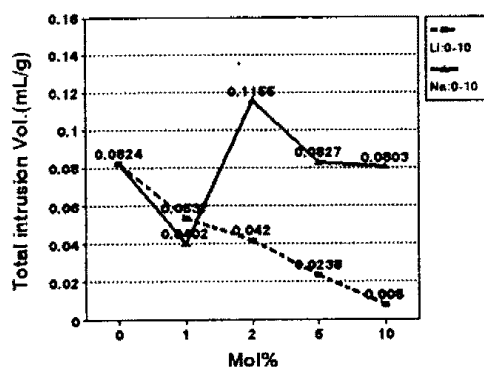


그림 5. 알카리 옥사이드의 첨가량에 따른 V_2O_5 를 dopant로 한 TiO_2 시편의 수은 침투 채적률

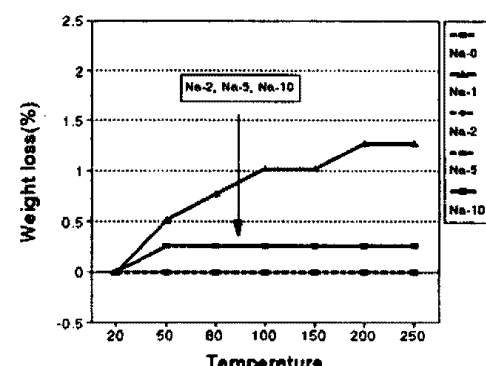


그림 9. Na_2O 첨가량에 따른 V_2O_5 를 dopant로 한 TiO_2 시편의 TG curves

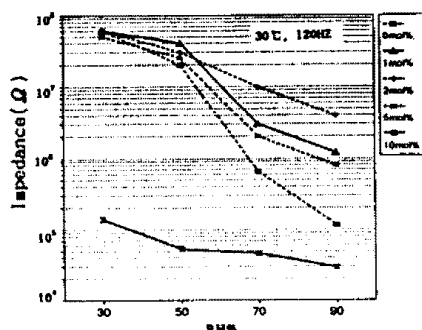


그림 6. Li_2O 첨가량에 따른 V_2O_5 를 dopant로 한 TiO_2 시편의 감습 특성

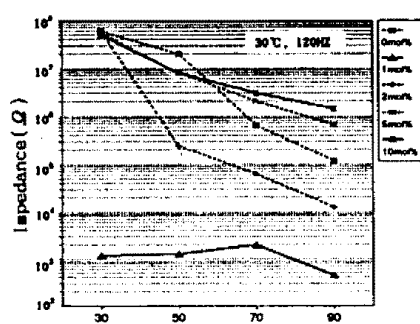


그림 7. Na_2O 첨가량에 따른 V_2O_5 를 dopant로 한 TiO_2 시편의 감습 특성

참 고 문 헌

- K. Katayama, K. Hasegawa, Y. Takahashi, T. Akiba and H. Yanagita, "Humidity Sensitivity of Nb_2O_5 -doped TiO_2 ceramics", Sensors and Actuators A, 24(1990), pp.55-60.
- T. Seiyama, N. Yamazoe and H. Arai, "Ceramic humidity sensors", Sensors and Actuators, 4(1983), pp.85-96.
- T.Y.Kim, D.H.Lee, Y.C.Shim, J.U.Bu and S.T.Kim, "Effects of alkaline oxide additives on the microstructure and humidity sensitivity of $MgCr_2O_4-TiO_2$ ", Sensors and Actuators B, 9(1992), pp.221-225.
- Y.Sadaoka, Y.Sakai and S.Matsui, "Humidity sensor using Zirconium phosphates and silicates Improvements of Humidity Sensitivity Sensors and Actuators", 13(1988), PP.147-157.
- K. Katayama, H. Hasegawa, T. noda and T. Akiba, "Effect of Alkaline Oxide Addition on the Humidity Sensitivity of Nb_2O_5 -doped TiO_2 ", Sensors and Actuators B, 2(1990), pp.143-149.
- N. Ichinose and Tanaka, "Preparation and humidity-sensitive characteristics of fluorapatite compounds", Sensors Mater., 2(1988), pp.77-81.
- F. Uchikawa, K.Miyao, H.Horii and K. shimamoto, "Preparation and humidity-sensing properties of glassy film converting silicon composite materials". Denki Kagaku, 11(1983), PP.890-892.